

PVK Numerische Methoden

Tag 1

Lucas Böttcher

ETH Zürich
Institut für Baustoffe
Wolfgang-Pauli-Str. 27
HIT G 23.8
8093 Zürich

lucasb@ethz.ch

June 19, 2017

Daten und Zeiten:

Kursdauer: 19.06.2017-23.06.2017 von 08:00-12:30 Uhr

Erste Lektion: 08:00-09:30 Uhr

Pause: 09:30-09:45 Uhr

Zweite Lektion: 09:45-11:15 Uhr

Pause: 11:15-11:30 Uhr

Dritte Lektion: 11:30-12:30 Uhr

Ziel PVK: Vorbereitung auf die Prüfung ([schriftlich](#), 180 min) am PC

Ziel PVK: Vorbereitung auf die Prüfung (**schriftlich, 180 min**) am PC

Erlaubte Hilfsmittel: 10 Seiten A4 eigenhändig verfasste Zusammenfassung, handgeschrieben, nicht ausgedruckt, nicht kopiert. Vorlesungsunterlagen stehen elektronisch während der Prüfung zur Verfügung. Sonst keine Hilfsmittel.

Kursziele laut VVZ:

Studenten sind im Stande

- 1 zwischen verschiedenen **numerischen Methoden** zu **differenzieren**, um zu wissen, welche Methode ein bestimmtes mathematisches Problem löst.

Kursziele laut VVZ:

Studenten sind im Stande

- 1 zwischen verschiedenen **numerischen Methoden** zu **differenzieren**, um zu wissen, welche Methode ein bestimmtes mathematisches Problem löst.
- 2 geeignete **numerische Verfahren anzuwenden**, um ein bestimmtes numerisches Problem der Physik zu lösen.

Kursziele laut VVZ:

Studenten sind im Stande

- 1 zwischen verschiedenen **numerischen Methoden** zu **differenzieren**, um zu wissen, welche Methode ein bestimmtes mathematisches Problem löst.
- 2 geeignete **numerische Verfahren anzuwenden**, um ein bestimmtes numerisches Problem der Physik zu lösen.
- 3 geeignete **Software Repositories** anzuwenden, welche hilfreich sind, um ein gegebenes numerisches Problem zu lösen.

Kursziele laut VVZ:

Studenten sind im Stande

- 1 zwischen verschiedenen **numerischen Methoden** zu **differenzieren**, um zu wissen, welche Methode ein bestimmtes mathematisches Problem löst.
- 2 geeignete **numerische Verfahren anzuwenden**, um ein bestimmtes numerisches Problem der Physik zu lösen.
- 3 geeignete **Software Repositories** anzuwenden, welche hilfreich sind, um ein gegebenes numerisches Problem zu lösen.
- 4 **numerische Resultate**, welche durch das numerische lösen mathematischer Probleme erhalten wurden, hinsichtlich Genauigkeit und Korrektheit zu **interpretieren**.

Kurstag **Inhalt**

Tag 1 [Differenzialgleichungen](#)

Tag 2 Quadratur, Nichtlineare algebraische Gleichungen

Tag 3 Ausgleichsrechnung, Eigenwerte, Interpolation

Tag 4 Lineare ODEs, Exponentielle Integratoren, Splitting-Verfahren

Tag 5 Erweiterte Übungen

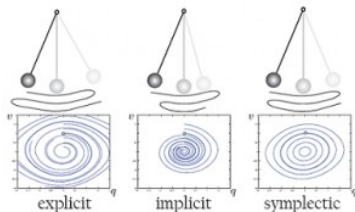
Kapitel I

Lösen gewöhnlicher Differentialgleichungen (Sektionen 8.2, 8.5, 8.6 im Skript)

Lösen gewöhnlicher Differentialgleichungen

Lernziele: Numerische Lösung von Anfangswertproblemen der Form $\dot{\mathbf{y}} = \mathbf{f}(t, \mathbf{y})$ mit $\mathbf{y}(0) = \mathbf{y}_0$.

Methoden: Eulerverfahren (explizit und implizit), implizite Mittelpunktsregel.



<http://ftparmy.com/207981-pendulum-motion-in-phase-space-model.html>

Explizites Eulerverfahren

Grundidee: Approximieren der ODE $\dot{\mathbf{y}} = \mathbf{f}(t, \mathbf{y})$ durch
 $\mathbf{y}_{n+1} = \mathbf{y}_n + h_n \mathbf{f}(t_n, \mathbf{y}_n)$, $n = 0, \dots, N-1$.

Explizites Eulerverfahren

Grundidee: Approximieren der ODE $\dot{\mathbf{y}} = \mathbf{f}(t, \mathbf{y})$ durch
 $\mathbf{y}_{n+1} = \mathbf{y}_n + h_n \mathbf{f}(t, \mathbf{y}), n = 0, \dots, N - 1.$

Denn der Vorwärts-Differenzen-Quotient ist

$$\mathbf{f}(t_n, \mathbf{y}(t_n)) = \dot{\mathbf{y}}(t_n) \approx \frac{\mathbf{y}(t_n + h_n) - \mathbf{y}(t_n)}{h_n}.$$

Explizites Eulerverfahren

Grundidee: Approximieren der ODE $\dot{\mathbf{y}} = \mathbf{f}(t, \mathbf{y})$ durch
 $\mathbf{y}_{n+1} = \mathbf{y}_n + h_n \mathbf{f}(t, \mathbf{y}), n = 0, \dots, N - 1.$

Denn der Vorwärts-Differenzen-Quotient ist

$$\mathbf{f}(t_n, \mathbf{y}(t_n)) = \dot{\mathbf{y}}(t_n) \approx \frac{\mathbf{y}(t_n + h_n) - \mathbf{y}(t_n)}{h_n}.$$

Keine Energieerhaltung, cf. p. 226 im Skript.

Implizites Eulerverfahren

Grundidee: Approximieren der ODE $\dot{\mathbf{y}} = \mathbf{f}(t, \mathbf{y})$ durch $\mathbf{y}_{n+1} = \mathbf{y}_n + h_n \mathbf{f}(t_{n+1}, \mathbf{y}_{n+1})$, $n = 0, \dots, N - 1$.

Implizites Eulerverfahren

Grundidee: Approximieren der ODE $\dot{\mathbf{y}} = \mathbf{f}(t, \mathbf{y})$ durch
 $\mathbf{y}_{n+1} = \mathbf{y}_n + h_n \mathbf{f}(t_{n+1}, \mathbf{y}_{n+1}), n = 0, \dots, N - 1.$

Denn der Rückwärts-Differenzen-Quotient ist
 $\mathbf{f}(t_{n+1}, \mathbf{y}(t_{n+1})) = \dot{\mathbf{y}}(t_{n+1}) \approx \frac{\mathbf{y}(t_{n+1}-h_n) - \mathbf{y}(t_{n+1})}{-h_n}.$

Implizites Eulerverfahren

Grundidee: Approximieren der ODE $\dot{\mathbf{y}} = \mathbf{f}(t, \mathbf{y})$ durch
 $\mathbf{y}_{n+1} = \mathbf{y}_n + h_n \mathbf{f}(t_{n+1}, \mathbf{y}_{n+1}), n = 0, \dots, N - 1.$

Denn der Rückwärts-Differenzen-Quotient ist
 $\mathbf{f}(t_{n+1}, \mathbf{y}(t_{n+1})) = \dot{\mathbf{y}}(t_{n+1}) \approx \frac{\mathbf{y}(t_{n+1}-h_n) - \mathbf{y}(t_{n+1})}{-h_n}.$

Lösen eines nichtlinearen Systems notwendig.

Implizites Eulerverfahren

Grundidee: Approximieren der ODE $\dot{\mathbf{y}} = \mathbf{f}(t, \mathbf{y})$ durch
 $\mathbf{y}_{n+1} = \mathbf{y}_n + h_n \mathbf{f}(t_{n+1}, \mathbf{y}_{n+1}), n = 0, \dots, N - 1.$

Denn der Rückwärts-Differenzen-Quotient ist
 $\mathbf{f}(t_{n+1}, \mathbf{y}(t_{n+1})) = \dot{\mathbf{y}}(t_{n+1}) \approx \frac{\mathbf{y}(t_{n+1}-h_n) - \mathbf{y}(t_{n+1})}{-h_n}.$

Lösen eines nichtlinearen Systems notwendig.

Keine Energieerhaltung, cf. p. 226 im Skript.

Implizite Mittelpunktsregel

Grundidee: Approximieren der ODE $\dot{\mathbf{y}} = \mathbf{f}(t, \mathbf{y})$ durch

$$\mathbf{y}_{n+1} = \mathbf{y}_n + h_n \mathbf{f} \left(\frac{t_n + t_{n+1}}{2}, \frac{\mathbf{y}_{n+1} + \mathbf{y}_n}{2} \right), \quad n = 0, \dots, N - 1.$$

Implizite Mittelpunktsregel

Grundidee: Approximieren der ODE $\dot{\mathbf{y}} = \mathbf{f}(t, \mathbf{y})$ durch

$$\mathbf{y}_{n+1} = \mathbf{y}_n + h_n \mathbf{f} \left(\frac{t_n + t_{n+1}}{2}, \frac{\mathbf{y}_{n+1} + \mathbf{y}_n}{2} \right), \quad n = 0, \dots, N - 1.$$

Lösen eines nichtlinearen Systems notwendig.

Implizite Mittelpunktsregel

Grundidee: Approximieren der ODE $\dot{\mathbf{y}} = \mathbf{f}(t, \mathbf{y})$ durch

$$\mathbf{y}_{n+1} = \mathbf{y}_n + h_n \mathbf{f} \left(\frac{t_n + t_{n+1}}{2}, \frac{\mathbf{y}_{n+1} + \mathbf{y}_n}{2} \right), \quad n = 0, \dots, N - 1.$$

Lösen eines nichtlinearen Systems notwendig.

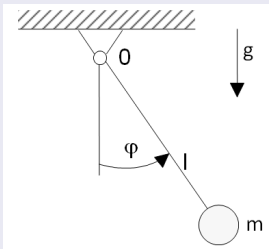
Energieerhaltung gegeben, cf. p. 227 im Skript.

Beispiel Mathematisches Pendel

Beispiel Mathematisches Pendel

Man schreibt die Differentialgleichung $\ddot{\phi} = -\frac{g}{l} \sin(\phi)$ um in ein System erster Ordnung:

$$\begin{pmatrix} \dot{\phi} \\ \dot{p} \end{pmatrix} = \begin{pmatrix} p \\ -\frac{g}{l} \sin(\phi) \end{pmatrix}. \quad (1)$$



Untersuche das zeitliche Verhalten der Gesamtenergie für das explizite und implizite Eulerverfahren sowie für die Mittelpunktsregel.

Hinweis: Die Gesamtenergie ist ($m = 1, l = 1$) $E_{tot} = \frac{1}{2}\dot{\phi}^2 + g(1 - \cos(\phi))$.

http://moodle.autolab.uni-pannon.hu/Mecha_tananyag/mechatronikai_modellezes_angol/ch02.html

Beispiel Mathematisches Pendel

```
f = lambda alpha, p: array([p, -9.81*sin(alpha)])
```

```
def explicit_euler(y0, dt, N):  
    y_ee = []  
    y_ee.append(y0)  
    for i in range(N):  
        y_ee.append( y_ee[-1] +  
                    dt*f(y_ee[-1][0],y_ee[-1][1]) )  
  
    return asarray(y_ee)
```

Beispiel Mathematisches Pendel

```
g_impl = lambda x, y0, dt: y0+dt*f(x[0],x[1])-x
```

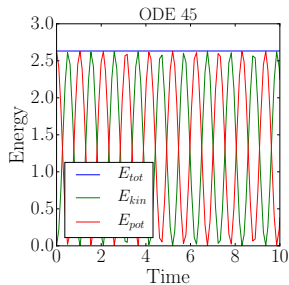
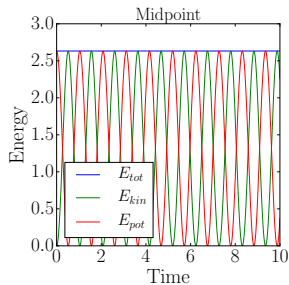
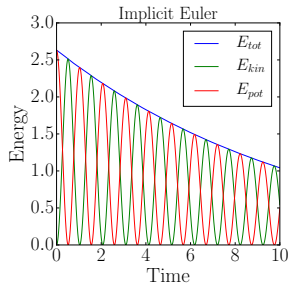
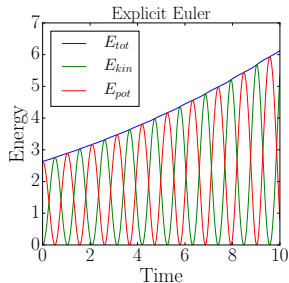
```
def implicit_euler(y0, dt, N):  
    y_ie = []  
    y_ie.append(y0)  
    for i in range(N):  
        y_ie.append( fsolve(g_impl, y_ie[-1],  
                           args=(y_ie[-1],dt)) )  
  
    return asarray(y_ie)
```

Beispiel Mathematisches Pendel

```
g_mid = lambda x, y0, dt: y0+  
        dt*f(0.5*(x[0]+y0[0]),0.5*(x[1]+y0[1]))-x
```

```
def midpoint(y0, dt, N):  
    y_mp = []  
    y_mp.append(y0)  
    for i in range(N):  
        y_mp.append( fsolve(g_mid, y_mp[-1],  
                            args=(y_mp[-1],dt)) )  
  
    return asarray(y_mp)
```

Beispiel Mathematisches Pendel



Verletverfahren

Lernziele: Integration von Differentialgleichungen der Form $\ddot{\mathbf{y}} = \mathbf{f}(t, \mathbf{y})$ (z.B.: Newtonsche Bewegungsgleichungen).

Methoden: Velocity-Verlet- und Störmer-Verlet-Verfahren.

Velocity-Verlet-Verfahren

Grundidee: Approximieren der ODE $\ddot{\mathbf{y}} = \mathbf{f}(t, \mathbf{y})$ mit Anfangsbedingungen $\mathbf{y}(0) = \mathbf{y}_0$ und $\dot{\mathbf{y}} = \mathbf{v}_0$.

In diesem Verfahren ist:

$$\mathbf{x}_{n+1} = \mathbf{x}_n + h\mathbf{v}_n + \frac{h^2}{2}f(t_n, \mathbf{x}_n) \text{ und}$$

$$\mathbf{v}_{n+1} = \mathbf{v}_n + \frac{h}{2}(f(t_n, \mathbf{x}_n) + f(t_{n+1}, \mathbf{x}_{n+1})).$$

Energieerhaltung gegeben.

Velocity-Verlet-Verfahren

```
f = lambda phi: -9.81*sin(phi)
```

```
def velocity_verlet(x0, v0, dt, N):
```

```
    x_vv = []
```

```
    v_vv = []
```

```
    x_vv.append(x0)
```

```
    v_vv.append(v0)
```

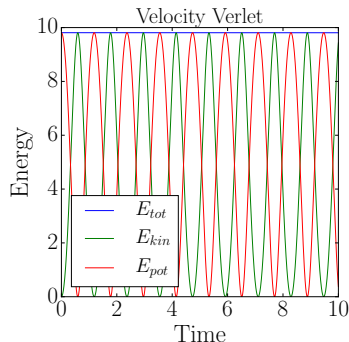
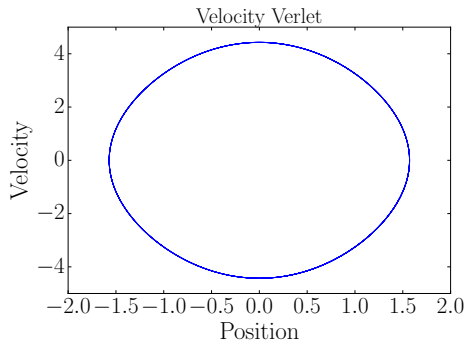
```
    for i in range(N):
```

```
        x_vv.append( x_vv[-1] + dt*v_vv[-1] +  
                    0.5*dt**2 * f(x_vv[-1]) )
```

```
        v_vv.append( v_vv[-1] +  
                    0.5*dt*( f(x_vv[-1]) + f(x_vv[-2]) ) )
```

```
    return asarray(x_vv), asarray(v_vv)
```

Velocity-Verlet-Verfahren



Das Velocity-Verlet-Verfahren erhält die Energie.

Störmer-Verlet-Verfahren

Grundidee: Approximieren der ODE $\ddot{\mathbf{y}} = \mathbf{f}(t, \mathbf{y})$ durch
 $\mathbf{y}_{n+1} = -\mathbf{y}_{n-1} + 2\mathbf{y}_n + h^2\mathbf{f}(t_n, \mathbf{y}_n)$, $n = 0, \dots, N - 1$.

Störmer-Verlet-Verfahren

Grundidee: Approximieren der ODE $\ddot{\mathbf{y}} = \mathbf{f}(t, \mathbf{y})$ durch
 $\mathbf{y}_{n+1} = -\mathbf{y}_{n-1} + 2\mathbf{y}_n + h^2\mathbf{f}(t_n, \mathbf{y}_n)$, $n = 0, \dots, N - 1$.

Denn man kann die zweite Ableitung approximieren durch
 $\mathbf{f}(t, \mathbf{y}) = \ddot{\mathbf{y}} \approx \frac{y_{n+1} - 2y_n + y_{n-1}}{h^2}$.

Störmer-Verlet-Verfahren

Grundidee: Approximieren der ODE $\ddot{\mathbf{y}} = \mathbf{f}(t, \mathbf{y})$ durch
 $\mathbf{y}_{n+1} = -\mathbf{y}_{n-1} + 2\mathbf{y}_n + h^2\mathbf{f}(t_n, \mathbf{y}_n)$, $n = 0, \dots, N - 1$.

Denn man kann die zweite Ableitung approximieren durch
 $\mathbf{f}(t, \mathbf{y}) = \ddot{\mathbf{y}} \approx \frac{y_{n+1} - 2y_n + y_{n-1}}{h^2}$.

Typischerweise sind die Anfangswerte $\mathbf{y}(0) = \mathbf{y}_0$ und $\dot{\mathbf{y}} = \mathbf{v}_0$ gegeben.
Dann ist $\mathbf{y}_1 = \mathbf{y}_0 + h\mathbf{v}_0 + \frac{h^2}{2}\mathbf{f}(t_0, \mathbf{y}_0)$, cf. p. 228 im Skript.

Beispiel Streuung am Lennard-Jones Potential

Beispiel Streuung am Lennard-Jones Potential

Die Teilchenstreuung am Lennard-Jones Potential $U(x, y)$ ist beschrieben durch $\ddot{\mathbf{r}} = -\nabla U$, wobei $U(x, y) = 4 \left(\left(\frac{2}{r}\right)^{12} - \left(\frac{1}{r}\right)^8 \right)$.

Beispiel Streuung am Lennard-Jones Potential

Beispiel Streuung am Lennard-Jones Potential

Die Teilchenstreuung am Lennard-Jones Potential $U(x, y)$ ist beschrieben durch $\ddot{\mathbf{r}} = -\nabla U$, wobei $U(x, y) = 4 \left(\left(\frac{2}{r}\right)^{12} - \left(\frac{1}{r}\right)^8 \right)$.

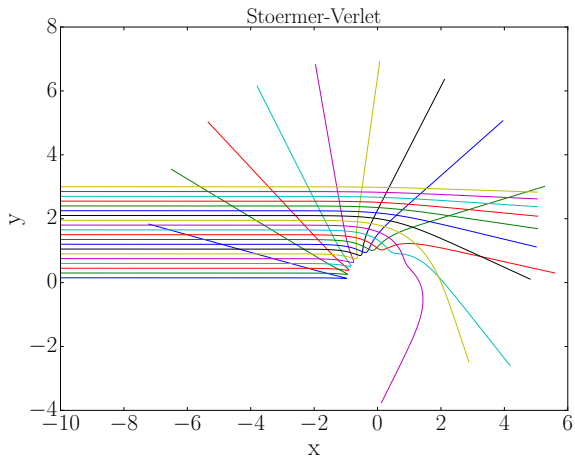
Bestimme die Teilchentrajektorien für $\mathbf{r}_0 = (-10, b)^T$ mit $b \in \{0.15, 0.3, \dots, 3\}$ und $\dot{\mathbf{r}}_0 = (1, 0)^T$. Der Zeitschritt ist $\Delta t = 0.02$ und $T_{tot} = 15$.

Beispiel Streuung am Lennard-Jones Potential

```
f = lambda x: 24*(2./sqrt(x[0]**2+x[1]**2)**14  
              -1./sqrt(x[0]**2+x[1]**2)**8)*x
```

```
def stoermer_verlet(x0, v0, dt, T):  
    x_sv = []  
    x_sv.append(x0)  
    x1 = x0 + dt*v0 + 0.5*dt**2*f(x0)  
    x_sv.append(x1)  
    for i in range(int(T/dt)):  
        x_sv.append( -x_sv[-2]+2*x_sv[-1]  
                    +dt**2*f(x_sv[-1]) )  
  
    return asarray(x_sv)
```

Beispiel Streuung am Lennard-Jones Potential



Runge-Kutta-Verfahren

Lernziele: Integration von Differentialgleichungen der Form $\dot{\mathbf{y}} = \mathbf{f}(t, \mathbf{y})$ mit Verfahren höherer Konvergenzordnung.

Methoden: Runge-Kutta zweiter und vierter Ordnung, Kollokationsverfahren.

Runge-Kutta-Verfahren

Grundidee: Man nutzt eine Taylorentwicklung höherer Ordnung, um eine bessere Approximation der Differentialgleichung zu bekommen.

Runge-Kutta-Verfahren

Grundidee: Man nutzt eine Taylorentwicklung höherer Ordnung, um eine bessere Approximation der Differentialgleichung zu bekommen.

Man behält alle Terme bis zur Ordnung h^s :

$$y_{n+1} = y_n + \frac{h}{1!} \frac{dy}{dt} + \frac{h^2}{2!} \frac{d^2y}{dt^2} + \dots + \frac{h^s}{s!} \frac{d^s y}{dt^s} + \mathcal{O}(h^{s+1}).$$

Runge-Kutta-Verfahren

Grundidee: Man nutzt eine Taylorentwicklung höherer Ordnung, um eine bessere Approximation der Differentialgleichung zu bekommen.

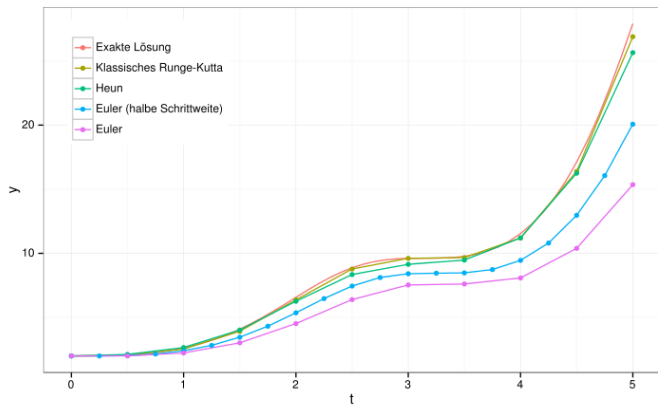
Man behält alle Terme bis zur Ordnung h^s :

$$y_{n+1} = y_n + \frac{h}{1!} \frac{dy}{dt} + \frac{h^2}{2!} \frac{d^2y}{dt^2} + \dots + \frac{h^s}{s!} \frac{d^s y}{dt^s} + \mathcal{O}(h^{s+1}).$$

Allgemein schreibt man die Approximation als $y_{n+1} = y_n + h \sum_{i=1}^s b_i k_i$, wobei $k_i = f\left(t_n + c_i h, y_n + \sum_{j=1}^s a_{ij} k_j\right)$.

c_1	a_{11}	\dots	a_{1s}
\vdots	\vdots		\vdots
c_s	a_{s1}	\dots	a_{ss}
	b_1	\dots	b_s

Runge-Kutta-Verfahren



<https://commons.wikimedia.org/wiki/File:Runge-kutta.svg>

Beispiel Runge-Kutta-Verfahren 4. Ordnung

Beispiel Runge-Kutta-Verfahren 4. Ordnung

Butcher Tableau RK4

0	0	0	0	0
$\frac{1}{2}$	$\frac{1}{2}$	0	0	0
$\frac{1}{2}$	0	$\frac{1}{2}$	0	0
1	0	0	1	0
	$\frac{1}{6}$	$\frac{1}{3}$	$\frac{1}{3}$	$\frac{1}{6}$

1. Definiere die 4 Koeffizienten:

$$k_1 = f(t_n, y_n)$$

$$k_2 = f(t_n + 0.5h, y_n + 0.5hk_1)$$

$$k_3 = f(t_n + 0.5h, y_n + 0.5hk_2)$$

$$k_4 = f(t_n + h, y_n + hk_3)$$

2. Berechne den nächsten Schritt:

$$y_{n+1} = y_n + h \left(\frac{1}{6}k_1 + \frac{1}{3}k_2 + \frac{1}{3}k_3 + \frac{1}{6}k_4 \right).$$

Implementiere das RK Verfahren, um die Airy Gleichung $\ddot{u}(t) - tu(t) = 0$ für $u(0) = 0.35503$ und $\dot{u}(0) = 0.25882$ im Zeitintervall $[-40, 0]$ zu lösen.

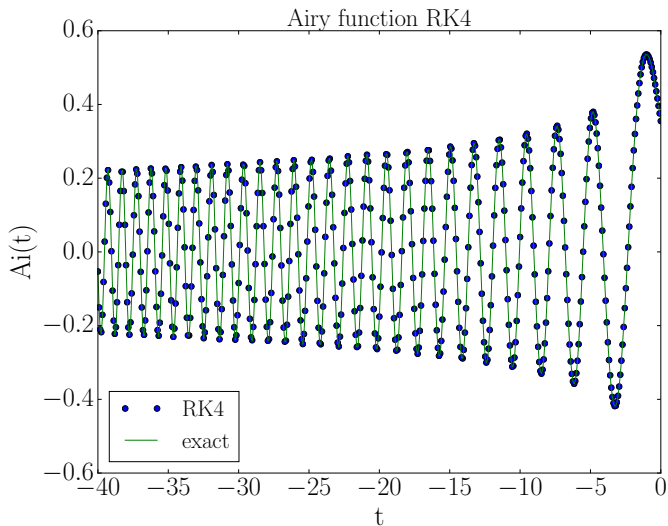
Beispiel Runge-Kutta-Verfahren 4. Ordnung

```
f = lambda t,y: array([y[1], t*y[0]])

def RK4(t0, y0, N, T):
    y_RK4 = []
    y_RK4.append(y0)
    t_RK4, h = linspace(t0, T, N+1, retstep=True)

    for i in range(N):
        k1 = f(t_RK4[i], y_RK4[-1])
        k2 = f(t_RK4[i]+0.5*h, y_RK4[-1]+0.5*h*k1)
        k3 = f(t_RK4[i]+0.5*h, y_RK4[-1]+0.5*h*k2)
        k4 = f(t_RK4[i]+h, y_RK4[-1]+h*k3)
        y_RK4.append(y_RK4[-1]+h*(1./6*k1+
                                1./3*k2+1./3*k3+1./6*k4))

    return t_RK4, asarray(y_RK4)
```



Runge-Kutta-Verfahren und Kollokation

Grundidee: Kollokationsverfahren approximieren eine Differential, sodass Anfangsbedingung und die Differentialgleichung an Kollokationspunkten erfüllt ist

Runge-Kutta-Verfahren und Kollokation

Grundidee: Kollokationsverfahren approximieren eine Differential, sodass Anfangsbedingung und die Differentialgleichung an Kollokationspunkten erfüllt ist

Kollokationsmethoden erzeugen implizite Runge-Kutta-Verfahren.

Für weitere Informationen:

<https://lp.uni-goettingen.de/get/text/1983>

Beispiel Gausskollokation 4. Ordnung

Beispiel Gausskollokation 4. Ordnung

Butcher Tableau

$\frac{1}{2} - \frac{\sqrt{3}}{6}$	$\frac{1}{4}$	$\frac{1}{4} - \frac{\sqrt{3}}{6}$
$\frac{1}{2} + \frac{\sqrt{3}}{6}$	$\frac{1}{4} + \frac{\sqrt{3}}{6}$	$\frac{1}{4}$
	$\frac{1}{2}$	$\frac{1}{2}$

Gausskollokationsmethoden haben die Ordnung $p = 2s$, also für das nebenstehende Verfahren findet man $p = 4$.

Implementiere ein Gausskollokationsverfahren 4. Ordnung, um die Airy Gleichung $\ddot{u}(t) - tu(t) = 0$ für $u(0) = 0.35503$ und $\dot{u}(0) = 0.25882$ im Zeitintervall $[-40, 0]$ zu lösen.

Steife Differentialgleichungen

Lernziele: Integration von steifen Differentialgleichungen, was für manche numerische Verfahren nur bei sehr kleiner Schrittweite möglich ist.

Methoden: Beispiel explizites und implizites Eulerverfahren, Stabilitätsgebiet von Runge-Kutta-Verfahren, Radau-Verfahren und Rosenbrock-Wanner-Verfahren.

Beispiel Dahlquist'sche Testgleichung

Wir betrachten das Beispiel $\dot{y} = \lambda y$ mit $y(0) = 1$ und $\lambda < 0$.

Beispiel Dahlquist'sche Testgleichung

Wir betrachten das Beispiel $\dot{y} = \lambda y$ mit $y(0) = 1$ und $\lambda < 0$.

Das **explizite Eulerverfahren** gibt $y_k = y_{k-1} + \lambda h y_{k-1} = (1 - |\lambda|h)^k y_0$,
also $|1 - |\lambda|h| < 1$ und damit $0 < h < \frac{2}{|\lambda|}$.

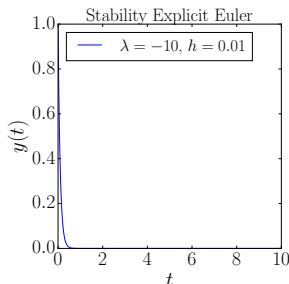
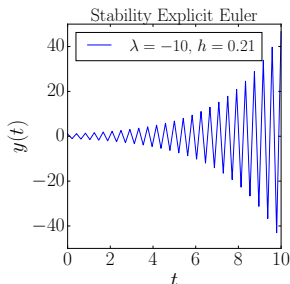
Beispiel Dahlquist'sche Testgleichung

Beispiel Dahlquist'sche Testgleichung

Wir betrachten das Beispiel $\dot{y} = \lambda y$ mit $y(0) = 1$ und $\lambda < 0$.

Das **explizite Eulerverfahren** gibt $y_k = y_{k-1} + \lambda h y_{k-1} = (1 - |\lambda|h)^k y_0$, also $|1 - |\lambda|h| < 1$ und damit $0 < h < \frac{2}{|\lambda|}$.

Für zu grosse Schrittweiten $h > \frac{2}{|\lambda|}$ wird das explizite Eulerverfahren instabil. Das passiert bei impliziten Methoden nicht.



Stabilitätsfunktionen für Runge-Kutta-Verfahren

Für ein Butcher-Tableau von Stufe s

$$\begin{array}{c|c} \mathbf{c} & \mathbf{U} \\ \hline & \mathbf{b}^T \end{array}$$

und die Differentialgleichung $\dot{y} = \lambda y$ mit $\lambda \in \mathbb{C}$ ist die Stabilitätsfunktion $S(z) = \mathbf{1} + z\mathbf{b}^T (\mathbf{1} - z\mathbf{U})^{-1} \mathbf{1} = \frac{\det(\mathbf{1} - z\mathbf{U} + z\mathbf{1}\mathbf{b}^T)}{\det(\mathbf{1} - z\mathbf{U})}$, wobei $z := \lambda h$ und $\mathbf{1} = (1, \dots, 1)^T \in \mathbb{R}^s$, cf. p. 280 im Skript.

Stabilitätsfunktionen für Runge-Kutta-Verfahren

Für ein Butcher-Tableau von Stufe s

$$\begin{array}{c|c} \mathbf{c} & \mathbf{U} \\ \hline & \mathbf{b}^T \end{array}$$

und die Differentialgleichung $\dot{y} = \lambda y$ mit $\lambda \in \mathbb{C}$ ist die Stabilitätsfunktion $S(z) = \mathbf{1} + z\mathbf{b}^T (\mathbb{1} - z\mathbf{U})^{-1} \mathbf{1} = \frac{\det(\mathbb{1} - z\mathbf{U} + z\mathbf{1}\mathbf{b}^T)}{\det(\mathbb{1} - z\mathbf{U})}$, wobei $z := \lambda h$ und $\mathbf{1} = (1, \dots, 1)^T \in \mathbb{R}^s$, cf. p. 280 im Skript.

Zum Beispiel ist für das explizite Eulerverfahren mit $\mathbf{c} = 0$, $\mathbf{U} = 0$ und $\mathbf{b}^T = 1$ die Stabilitätsfunktion $S(z) = 1 + z$.

Radau-Verfahren

Im Gegensatz zur Gausskollokation, welche die maximale Ordnung $p = 2s$ haben, erreichen Radau-Verfahren die Ordnung $p = 2s - 1$. Es handelt sich ebenfalls um ein implizites Runge-Kutta-Verfahren.

Radau-Verfahren

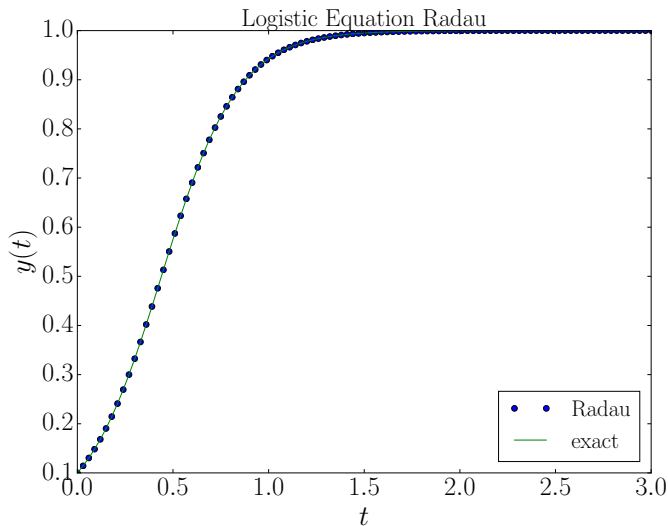
Im Gegensatz zur Gausskollokation, welche die maximale Ordnung $p = 2s$ haben, erreichen Radau-Verfahren die Ordnung $p = 2s - 1$. Es handelt sich ebenfalls um ein implizites Runge-Kutta-Verfahren.

Beispiel Lösung der logistischen Gleichung

Implementiere ein 2-stufiges Radau-Verfahren, um die logistische Gleichung $\dot{y} = \lambda y(1 - y)$ mit $y(0) = 0.1$ und $\lambda = 5$ zu lösen.

Das dazugehörige Butcher-Tableau ist, cf. p. 290 im Skript.

$\frac{1}{3}$	$\frac{5}{12}$	$-\frac{1}{12}$
1	$\frac{3}{4}$	$\frac{1}{4}$
	$\frac{3}{4}$	$\frac{1}{4}$



Rosenbrock-Wanner-Verfahren

Grundidee: [Implizite Runge-Kutta-Verfahren](#) eignen sich gut zum Lösen steifer Anfangswertprobleme. Jedoch beinhaltet das die Lösung von Gleichungssystemen in jedem Iterationsschritt.

Rosenbrock-Wanner-Verfahren

Grundidee: Implizite Runge-Kutta-Verfahren eignen sich gut zum Lösen steifer Anfangswertprobleme. Jedoch beinhaltet dies die Lösung von Gleichungssystemen in jedem Iterationsschritt.

Linear implizite Verfahren, wie das Rosenbrock-Wanner-Verfahren, nutzen approximierete lineare Gleichungssysteme.

Beispiel Lösung der logistischen Gleichung

Implementiere Rosenbrock-Wanner-Verfahren der Ordnung 2 und 3, um die logistische Gleichung $\dot{y} = \lambda y(1 - y)$ mit $y(0) = 0.1$ und $\lambda = 5$ zu lösen.

Rosenbrock-Wanner-Verfahren

Grundidee: [Implizite Runge-Kutta-Verfahren](#) eignen sich gut zum Lösen steifer Anfangswertprobleme. Jedoch beinhaltet dies die Lösung von Gleichungssystemen in jedem Iterationsschritt.

[Linear implizite Verfahren](#), wie das Rosenbrock-Wanner-Verfahren, nutzen [approximierte lineare Gleichungssysteme](#).

Rosenbrock-Wanner-Verfahren

Grundidee: Implizite Runge-Kutta-Verfahren eignen sich gut zum Lösen steifer Anfangswertprobleme. Jedoch beinhaltet dies die Lösung von Gleichungssystemen in jedem Iterationsschritt.

Linear implizite Verfahren, wie das Rosenbrock-Wanner-Verfahren, nutzen approximierete lineare Gleichungssysteme.

Beispiel Lösung der logistischen Gleichung

Implementiere Rosenbrock-Wanner-Verfahren der Ordnung 2 und 3 (p. 293 im Skript), um die logistische Gleichung $\dot{y} = \lambda y(1 - y)$ mit $y(0) = 0.1$ und $\lambda = 5$ zu lösen.

Weitere Informationen: https://www.math.hu-berlin.de/~lamour/Lehre/ODEs/script_NumDGL_Tischendorf.pdf

Rosenbrock-Wanner-Verfahren

